

Э. Н. ДАНОЯН

К ПЛОСКОЙ ЗАДАЧЕ РАСПРОСТРАНЕНИЯ МАГНИТОУПРУГИХ КОЛЕБАНИЙ ОТ ТОЧЕЧНОГО ИСТОЧНИКА

Рассматривается плоская задача о распространении магнитоупругих колебаний в изотропной безграничной среде от точечного источника типа мгновенного импульса. Считается, что внешнее магнитное поле постоянно и параллельно плоскости движения.

Используя метод комплексных решений Смирнова-Соболева [1—3], строится решение, характеризующее магнитоупругие колебания от точечного источника типа мгновенного импульса. Проводится исследование полученных решений в зависимости от интенсивности внешнего магнитного поля.

На основе этих решений изучаются геометрические формы фронтов быстрых и медленных магнитоупругих волн в зависимости от интенсивности внешнего магнитного поля.

Аналогичные вопросы для анизотропных тел при отсутствии магнитного поля рассмотрены в [3—5].

§ 1. Постановка задачи, уравнения движения и их решения

Согласно [6—13] линеаризованные уравнения движения идеально проводящего упругого изотропного тела в постоянном однородном магнитном поле с заданным вектором напряженности H_0 после пренебрежения токами смещения имеют вид

$$G\Delta u + (\lambda + G)\text{grad div } u + R = \rho \frac{\partial u}{\partial t} \quad (1.1)$$

где u — вектор упругого смещения, μ — магнитная проницаемость, ρ — плотность, λ и G — упругие постоянные Ляме среды, R — сила электромагнитного происхождения, определяемая следующим образом:

$$R = \frac{\mu}{c_0} (j \times H_0) = \frac{\mu}{4\pi} [\text{rot rot } (u \times H_0)] \times H_0 \quad (1.2)$$

j — вектор плотности индуцированного тока, c_0 — скорость света в вакууме.

При этом векторы индуцированного электромагнитного поля выражаются через вектор перемещения u по следующим формулам:

$$E = -\frac{\mu}{c_0} \left(\frac{\partial u}{\partial t} \times H_0 \right), \quad h = \text{rot } (u \times H_0) \quad (1.3)$$

Отнеся упругую среду к прямоугольной системе координат x, y, z , рассмотрим случай, когда все искомые величины не зависят от од-

ной из координат, например z , и упругое перемещение по направлению соответствующей координаты отсутствует, то есть

$$u_z = u_z(x, y, t), \quad u_x = 0$$

$$h_i = h_i(x, y, t), \quad E_i = E_i(x, y, t), \quad i = 1, 2, 3 \quad (1.4)$$

Для существования решений вида (1.4) необходимо, чтобы вектор напряженности внешнего магнитного поля был либо перпендикулярен к плоскости движения xy ($H_{0y} = H_{0z} = 0$), либо параллелен ($H_{0x} = 0$) [13]. Первый случай соответствует изотропному действию магнитного поля, второй случай — анизотропному.

В первом случае, то есть при изотропном действии магнитного поля, задача о распространении магнитоупругих колебаний от точечного источника решается совершенно аналогично случаю отсутствия внешнего магнитного поля.

Во втором случае ($H_{0x} = 0$), то есть когда влияние магнитного поля анизотропно, совмещая ось x с направлением вектора H_0 , из (1.1) с учетом (1.2) и (1.4) получим

$$\begin{aligned} a^2 \frac{\partial^2 u_1}{\partial x^2} + b^2 \frac{\partial^2 u_1}{\partial y^2} + c^2 \frac{\partial^2 u_1}{\partial x \partial y} &= \frac{\partial^2 u_1}{\partial t^2} \\ b_1^2 \frac{\partial^2 u_2}{\partial x^2} - a_1^2 \frac{\partial^2 u_2}{\partial y^2} + c^2 \frac{\partial^2 u_2}{\partial x \partial y} &= \frac{\partial^2 u_2}{\partial t^2} \end{aligned} \quad (1.5)$$

где

$$\begin{aligned} a_1^2 &= a^2 + z^2, \quad b_1^2 = b^2 + z^2, \quad z^2 = \mu H_0^2 / 4\pi\gamma, \quad c^2 = a^2 - b^2 \\ a^2 &= (\lambda + 2G)^{-1/2}, \quad b^2 = G^{-1/2}, \quad H_0^2 = H_{0y}^2 + H_{0z}^2 \end{aligned} \quad (1.6)$$

a и b — скорости продольных и поперечных упругих волн при отсутствии внешнего магнитного поля, z — скорость Альфвена.

Согласно [3—4, 13], система уравнений имеет класс решений следующего вида:

$$\begin{aligned} u_1(x, y, t) &= \sum_{k=1}^2 \operatorname{Re} \left\{ \int_0^{\theta_k} p_k(\zeta) W_k(\zeta) d\zeta \right\} \\ u_2(x, y, t) &= \sum_{k=1}^2 \operatorname{Re} \left\{ \int_0^{\theta_k} q_k(\zeta) W_k(\zeta) d\zeta \right\} \end{aligned} \quad (1.7)$$

где

$$p_k(\theta) = c^{2\theta} i_k(\theta), \quad q_k(\theta) = a^{2\theta} + b^2 i_k^2(\theta) - 1 \quad (1.8)$$

Здесь комплексные переменные θ_k , как функции от x , y , t , определяются соотношениями

$$\theta_k \equiv t - \theta x + i_k(\theta)y + \gamma(\theta) = 0 \quad (1.9)$$

где величины i_k являются корнями дисперсионного уравнения системы (1.5)

$$a_1^2 b^2 i^4 - A(\theta) i^2 + B(\theta) = 0 \quad (1.10)$$

$\gamma(\theta)$ — произвольная аналитическая функция.

Коэффициенты уравнения (1.10) определяются следующим образом:

$$A(\theta) = K_1 - L\theta^2, \quad B(\theta) = (1 - \alpha^2 \theta^2)(1 - b_2^2 \theta^2) \quad (1.11)$$

$$K_1 = a_1^2 + b^2, \quad L = a_1^2 b^2 + b_1^2 a^2$$

В решении (1.7) под i_k следует понимать ветви алгебраической функции i , однозначной на соответствующей римановой поверхности, а под W_k — ветви произвольной аналитической функции W , однозначной на указанной выше римановой поверхности.

Если в соотношении (1.9) принять $\gamma(\theta) = 0$, то получим однородные, нулевого измерения, решения системы (1.5). При этом получим

$$\hat{z}_k = 1 - b_1^2 + i_k(\theta)\gamma = 0, \quad \xi = x/t, \quad \eta = y/t \quad (1.12)$$

Можно доказать, что все однородные, нулевого измерения решения системы (1.5) выражаются формулой (1.7).

Из предыдущих рассуждений следует, что для того, чтобы построить решение, характеризующее колебания от точечного источника, помещенного в начале координат, следует исследовать алгебраическую функцию $i(\theta)$, удовлетворяющую уравнению (1.10), ветви этой функции и соответствующую риманову поверхность.

Решения уравнения (1.10) представим в виде

$$i = \pm i_k, \quad i_k = \sqrt{\frac{A(\theta) \pm (-1)^k \sqrt{Q(\theta)}}{2a_1^2 b^2}}, \quad k = 1, 2 \quad (1.13)$$

где

$$Q(\theta) = A^2(\theta) - 4a_1^2 b^2 B(\theta) = N^2 \theta^4 - 2K_2 N^2 \theta^2 + K_2^2 \quad (1.14)$$

$$K_2 = a_1^2 - b^2, \quad N = \alpha^2 c^2$$

Для выделения однозначных регулярных ветвей алгебраической функции $i(\theta)$ найдем особые точки этой функции, которые являются корнями дискриминанта уравнения (1.10) [14], то есть корнями следующего уравнения:

$$D = 16 a_1^2 b^2 B(\theta) Q^2(\theta) = 0 \quad (1.15)$$

(1.15) эквивалентно следующим уравнениям:

$$B(\theta) = 0, \quad Q(\theta) = 0 \quad (1.16)$$

Уравнения (1.16) имеют, соответственно, следующие корни [13]:

$$\theta = \pm \theta_3^0; \quad \theta = \pm \theta_4^0, \quad \theta_3^0 = b_1^{-1}, \quad \theta_4^0 = \alpha^{-1} \quad (1.17)$$

$$\theta = \pm \theta_1^0; \quad \theta = \pm \theta_2^0, \quad \theta_{1,2}^0 = (a_1 \pm b) N^{-1/2} \quad (1.18)$$

Взаимное расположение точек (1.17) и (1.18) на вещественной оси комплексной плоскости θ в зависимости от величины χ изучено в работе [13] и имеет вид

$$\begin{aligned} 1. & 0 < \theta_4^0 < \theta_5^0 < \theta_2^0 < \theta_1^0 < +\infty \quad \text{при } 0 < \chi < \chi_1 \\ 2. & 0 < \theta_4^0 < \theta_1^0 < \theta_2^0 < \theta_3^0 < \theta_5^0 < +\infty \quad \text{при } \chi_1 < \chi < \chi_2 \\ 3. & 0 < \theta_3^0 = \theta_5^0 < \theta_2^0 < \theta_4^0 < \theta_1^0 < +\infty \quad \text{при } \chi = \chi_2 \\ 4. & 0 < \theta_3^0 < \theta_4^0 < \theta_2^0 < \theta_5^0 < \theta_1^0 < +\infty \quad \text{при } \chi_2 < \chi < \chi_3 \\ 5. & 0 < \theta_1^0 < \theta_5^0 < \theta_4^0 < \theta_2^0 < \theta_3^0 < +\infty \quad \text{при } \chi_3 < \chi < +\infty \end{aligned} \quad (1.19)$$

где $\pm \theta_5^0$ ($\theta_5^0 = L^{-1/2} K_1^{1/2}$) — корни уравнения $A(\theta) = 0$, а величины χ_1 , χ_2 , χ_3 определяются следующим образом:

$$\chi_1 = [2^{-1}b(1 + \sqrt{4a^2 - 3b^2} - b)]^{1/2}, \quad \chi_2 = |a^2 - b^2|, \quad \chi_3 = ab^{-1}\chi_2 \quad (1.20)$$

Так как точки $\pm \theta_1^0$, $\pm \theta_2^0$ суть простые нули $Q(\theta)$, то внутренний радикал, входящий в (1.13), будет однозначной функцией на плоскости θ с разрезами ($\pm \theta_1^0$, $\pm \theta_2^0$) вдоль вещественной оси. Фиксируем значение данного радикала условием, чтобы он был положительным на верхней части мнимой оси, то есть при $\theta = i\ell$ ($\ell > 0$).

Согласно работе [13], для внешних радикалов в зависимости от величины χ имеем следующие точки разветвления:

при $0 \leq \chi < \chi_1$ для $k = 1$ точки $\pm \theta_4^0$, для $k = 2$ точки $\pm \theta_1^0$

при $\chi = \chi_1$ — $\pm \theta_4^0$, $\pm \theta_1^0 = \pm \theta_2^0$ ($k = 1$), $\pm \theta_3^0$ ($k = 2$)

при $\chi_1 < \chi < \chi_2$ — $\pm \theta_4^0$, $\pm \theta_2^0$ ($k = 1$), не имеет ($k = 2$)

при $\chi = \chi_2$ — $\pm \theta_4^0$, $\pm \theta_2^0$ ($k = 1$), $\pm \theta_1^0$ ($k = 2$)

при $\chi_2 < \chi < \chi_3$ — $\pm \theta_2^0$ ($k = 1$), $\pm \theta_1^0$ ($k = 2$)

при $\chi = \chi_3$ — не имеет ($k = 1$), $\pm \theta_1^0$ ($k = 2$)

На основании полученных результатов χ_1 и χ_2 нужно рассматривать как ветви алгебраической функции θ , однозначной на римановой поверхности, составленной из плоскостей θ_1 и θ_2 , склеенных вдоль купюр, соединяющих точки разветвления $\pm \theta_1^0$ и $\pm \theta_2^0$. При этом, в зависимости от величины χ на плоскостях θ_1 и θ_2 , вдоль вещественных осей следует провести следующие разрезы:

при $0 \leq \chi < \chi_1$ на плоскости θ_1 — ($-\theta_4^0$, $+\theta_4^0$), на плоскости θ_2 — ($-\theta_3^0$, $+\theta_3^0$),

при $x = x_1$ на $\theta_1 - (\pm \infty, \pm \theta_1^0)$, $(-\theta_4^0, +\theta_4^0)$, на $\theta_2 - (\pm \infty, \pm \theta_1^0)$,
 $(-\theta_2^0 = \theta_3^0, +\theta_2^0 = +\theta_3^0)$,

при $x_1 < x < x_2$ на $\theta_1 - (\pm \infty, \pm \theta_1^0)$, $(\pm \theta_2, \pm \theta_3)$, $(-\theta_4^0, +\theta_4^0)$,
на $\theta_2 - (\pm \infty, \pm \theta_1^0)$, $(-\theta_2^0, +\theta_2^0)$,

при $x = x_2$ на $\theta_1 - (\pm \infty, \pm \theta_1^0)$, $(\pm \theta_2, \pm \theta_4 = \pm \theta_3)$, $(-\theta_4^0 = -\theta_3^0,$
 $+\theta_4^0 = +\theta_3^0)$, на $\theta_2 - (\pm \infty, \pm \theta_1^0)$, $(-\theta_2^0, +\theta_2^0)$,

при $x_2 < x < x_3$ на $\theta_1 - (\pm \infty, \pm \theta_1^0)$, $(\pm \theta_2, \pm \theta_4)$, $(-\theta_3^0, +\theta_3^0)$,
на $\theta_2 - (\pm \infty, \pm \theta_1^0)$, $(-\theta_2^0, +\theta_2^0)$,

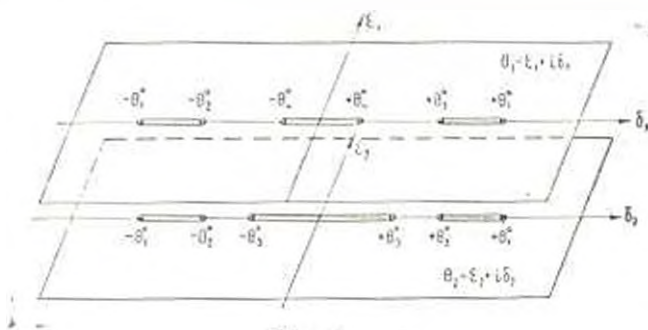
при $x = x_3$ на $\theta_1 - (\pm \infty, \pm \theta_1^0)$, $(-\theta_3^0, +\theta_3^0)$, на $\theta_2 - (\pm \infty, \pm \theta_1^0)$,
 $(-\theta_2^0 = -\theta_4^0, +\theta_2^0 = +\theta_4^0)$,

при $x_3 < x < +\infty$ на $\theta_1 - (-\theta_3^0, +\theta_3^0)$, на $\theta_2 - (-\theta_2^0, +\theta_4^0)$,

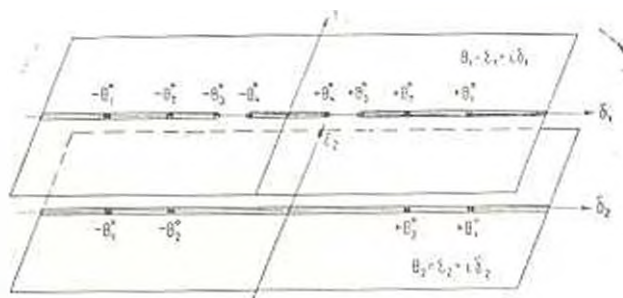
при $x = +\infty$ на θ_1 — разрезы отсутствуют, на $\theta_2 - (-\theta_2^0, +\theta_4^0)$.

Остальные корни (1.10), отличающиеся от рассматриваемых λ_k знаком, будут относиться к другим римановым поверхностям, подобным указанным выше и соединяющимся с ними в соответствующих разрезах.

На фиг. 1 и 2 приведены римановы поверхности для случаев $0 < x < x_1$ и $x_1 < x < x_2$, соответственно.



Фиг. 1.



Фиг. 2.

Согласно [13], области вещественности функций λ_k на вещественных осях плоскостей θ_k римановой поверхности в зависимости от величины x приведены в табл. 1.

Таблица 1

(обозначения: $\theta_{2,3,5}^0 = \theta_2^0 - \theta_3^0 - \theta_5^0$)

№№	Случаи	Для λ_1	Для λ_2
1	$x=0$	$0 \ 0 \ \theta_3^0$	$0 \ 0 \ \theta_3^0$
2	$0 < x < x_1$	$0 \ 0 \ \theta_4^0$	$0 \ 0 \ \theta_{2,3,5}^0$
3	$x = x_1$	$0 \ 0 \ \theta_4^0$	$0 \ 0 \ \theta_{2,3,5}^0$
4	$x_1 < x < x_2$	$0 \ 0 \ \theta_4^0$	$0 \ 0 \ \theta_{2,3,5}^0$
5	$x = x_2$	$0 \ 0 \ \theta_{2,3}^0$	$0 \ 0 \ \theta_{2,3,5}^0$
6	$x_2 < x < x_3$	$0 \ 0 \ \theta_{2,3}^0$	$0 \ 0 \ \theta_{2,3,5}^0$
7	$x = x_3$	$0 \ 0 \ \theta_3^0$	$0 \ 0 \ \theta_{2,1,5}^0$
8	$x_3 < x < -\infty$	$0 \ 0 \ \theta_3^0$	$0 \ 0 \ \theta_{2,1}^0$
9	$x = -\infty$	$0 \ 0 \ \theta_3^0$	$0 \ 0 \ \theta_{2,1}^0$

Фиксируем значения λ_1 и λ_2 на римановой поверхности условием, чтобы они были положительными при $\eta = i t$ ($t > 0$).

Следовательно, однородное решение системы (1.5) следует написать в следующей форме:

$$u_1(\xi, \eta) = \sum_{k=1}^2 \operatorname{Re} \left\{ \int_{\gamma_k} p_k(\zeta) W_k(\zeta) d\zeta \right\} \quad (1.21)$$

$$u_2(\xi, \eta) = \sum_{k=1}^2 \operatorname{Re} \left\{ \int_{\gamma_k} q_k(\zeta) W_k(\zeta) d\zeta \right\}$$

где W_k — ветви произвольной аналитической функции W , однозначной на римановой поверхности функции $\lambda(\eta)$, вид которой зависит от величины x , а переменные γ_k определяются соотношениями

$$1 - \eta_1^2 + \lambda_1 \eta = 0, \quad 1 - \eta_2^2 + \lambda_2 \eta = 0 \quad (1.22)$$

Подставляя значения λ_k из (1.13) в соотношения (1.22) и освобождаясь от радикалов, приходим к одному и тому же уравнению

$$A_0 \eta^4 - A_1 \eta^3 + A_2 \eta^2 - A_3 \eta + A_4 = 0 \quad (1.23)$$

где

$$\begin{aligned} A_0(\xi, \eta) &= a_1^2 b^2 \eta^4 - L^2 \eta^2 + a^2 b^2 \eta^4 \\ A_1(\xi, \eta) &= -2\xi(2a_1^2 b^2 \eta^2 + L \eta^2) \\ A_2(\xi, \eta) &= -(K_1 \eta^4 + K_2 \xi^2 \eta^2 - 6a_1^2 b^2 \eta^2 - L \eta^2) \\ A_3(\xi, \eta) &= 2\xi(K_1 \eta^2 - 2a_1^2 b^2) \\ A_4(\xi, \eta) &= \eta^4 - K_1 \eta^2 + a_1^2 b^2 \end{aligned} \quad (1.24)$$

В каждой точке плоскости ξ, η уравнение (1.23) имеет четыре корня. При $\xi = 0, \eta = 0$ все корни уравнения (1.23) обращаются в бесконечность, что соответствует наличию источника колебаний в начале координат.

В случае точечного источника, помещенного в начале $\xi = 0$, $\eta = 0$, форма $A_0(\xi, \eta)$ из (1.24) должна быть определенной, что приводит к неравенству [3]

$$x^2 [4a^4 b^2 + x^2 (a^2 - b^2)^2] > 0 \quad (1.25)$$

являющемуся условием вполне гиперболичности системы уравнений (1.5).

Как известно, фронты волн могут быть получены как огибающие прямых (1.22) при вещественных значениях θ_k и λ_k , связанных условием (1.10). Уравнения фронтов волн будут

$$\xi_k = \frac{v_k}{i_k} t + \xi_k(t_k), \quad \eta_k = 1 - (i_k - \theta_k \lambda_k) \quad (1.26)$$

Нормальные скорости распространения волн имеют выражения [13]

$$v_k = 1 / \sqrt{i_k^2 + \lambda_k^2}, \quad k = 1, 2 \quad (1.27)$$

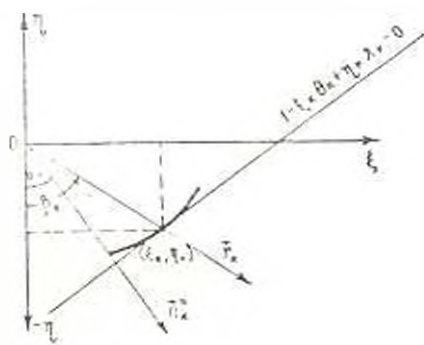
Очевидно, что если нужно получить решение, характеризующее упругие колебания от точечного источника при наличии магнитного поля, необходимо функцию W в (1.21) выбрать так, чтобы вещественные части W_1 и W_2 обращались в нуль на берегах разрезов, где соответственно i_1 и i_2 вещественны.

§2. Геометрия волновых фронтов. Условия существования остроугольных кромок

Рассмотрим геометрическую форму фронтов волн в зависимости от величины x на плоскости $\xi\eta$.

Поскольку волновые фронты симметричны относительно координатных осей ξ , достаточно изучить их участки, соответствующие симметричным участкам разрезов плоскостей θ_1 и θ_2 .

Пусть точкам θ_1 и θ_2 , находящимся на берегах разрезов вещественности функции i_1 и i_2 , соответствуют точки (ξ_1, η_1) и (ξ_2, η_2) на фронтах волн (фиг. 3).



Фиг. 3.

Обозначив через α_k углы между отрицательной полуосью η и нормальми к фронтам в выбранных точках, будем иметь

$$\operatorname{tg} \alpha_1 = \theta_1 / i_1, \quad \operatorname{tg} \alpha_2 = \theta_2 / i_2 \quad (2.1)$$

Обозначив через γ_k углы между отрицательной полуосью ξ и лучами, соединяющими выбранные точки на фронтах с началом координат, получим

$$\operatorname{tg}^2 \gamma_1 = -\lambda_1, \quad \operatorname{tg}^2 \gamma_2 = -\lambda_2 \quad (2.2)$$

Изучение геометрических форм фронтов волн требует исследования поведения функций для различных значений x , полученных из (2.1) — (2.2)

$$\lambda_1 = \frac{\theta_1 \gamma_1}{2a_1^2 b^2 \gamma_1}, \quad \lambda_1 = L + (-1)^k \frac{N(N\theta_1^2 - K_1)}{1 - Q} \quad (2.3)$$

$$\left(\frac{\theta_1}{\gamma_1}\right)^2 = \frac{\gamma_1}{2a_1^2 b^2 \gamma_1^2}, \quad \lambda_2 = K_1 + (-1)^k \frac{K_1^2 - K_1 N \theta_1^2}{1 - Q} \quad (2.4)$$

$$\lambda_2 = \frac{D_1}{4a_1^2 b^2 \gamma_1^2}, \quad D_1 = 2a_1^2 b^2 (\gamma_1 + \theta_1 \gamma_1)^2 \gamma_1^2 - \theta_1^2 \gamma_1^2 \quad (2.5)$$

$$\gamma_1 = \frac{(-1)^k 8a_1^2 b^2 N \theta_1^2}{1 - Q} \quad (2.6)$$

$$D_1 = (-1)^k 48a_1^4 b^4 N^2 \theta_1^2 \gamma_1^2 \frac{K_1^2 - K_1 N \theta_1^2}{1 - Q} \quad (2.7)$$

1. Пусть $0 < x < x_1$.

В этом случае функция λ_1 имеет вещественные значения на берегах разреза $(-\theta_1^0, +\theta_1^0)$ плоскости ξ_1 , функция λ_2 — на берегах разреза $(-\theta_2^0, +\theta_2^0)$ плоскости ξ_2 (фиг. 1).

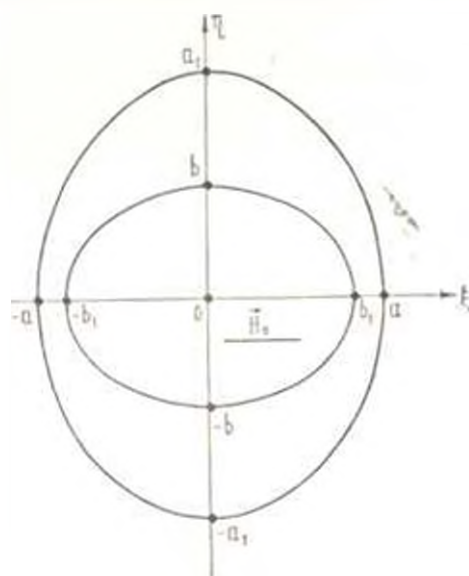
Изучим участки фронтов волн, соответствующие значениям верхних берегов разрезов

$$0 \leq \theta_1 \leq \theta_1^0 \quad \text{и} \quad 0 \leq \theta_2 \leq \theta_2^0 \quad (2.8)$$

Точкам $\theta_1 = 0$ и $\theta_2 = 0$, согласно (1.26), соответствуют точки волновых фронтов $\gamma_1 = -a_1$ и $\gamma_2 = -b$ на оси ξ , точкам $\theta_1 = \theta_1^0$ и $\theta_2 = \theta_2^0$ — точки $\xi_1 = a$ и $\xi_2 = b$, на оси ξ . Промежуткам (2.8) соответствуют участки фронтов, границами которых будут указанные точки на координатных осях.

Согласно [3—5], основываясь на (2.1—2.7), можно доказать, что в этом случае углы γ_1 , γ_2 , γ_3 монотонно возрастают от 0 до 90° . Следовательно, участкам (2.8) верхних берегов разрезов римановой поверхности соответствуют участки фронтов волн в четвертом квадранте плоскости $\xi\eta$, представляющие собой выпуклые кривые, концы которых подходят к координатным осям под углом 90° . Фронты волн представляют собой выпуклые замкнутые кривые с центром в начале координат. Внешний фронт, соответствующий $k = 1$, будет фронтом бы-

строй магнитоупругой волны. Внутренний, соответствующий $k = 2$, — фронтом медленной магнитоупругой волны (фиг. 4).



Фиг. 4.

2. Пусть $x_1 < x < x_2$.

Ввиду того, что в этом случае форма фронтов волн существенно изменяется, следует провести более детальный анализ.

Функция ψ_2 имеет вещественные значения на берегах разрезов $(-\psi_1^0, +\psi_1^0)$ и $(-\psi_2^0, +\psi_2^0)$ плоскости ξ_1 , функция ψ_1 — на берегах разреза $(-\psi_1^0, +\psi_1^0)$ плоскости ξ_2 (фиг. 2).

Сначала изучим участок фронта волны, соответствующий значениям $0 < \psi_2 < \psi_2^0$ верхнего берега разреза плоскости ξ_2 . Точкам $\psi_2 = 0$, $\psi_2 = \psi_2^0$ соответствуют точки фронта $(0, -b)$ и $(\psi_1^0, 0)$, расположенные на координатных осях η и ξ . Так как $\psi_2 = 0$, $\psi_2(0) = 2a_1^2 > 0$, $(\psi_2/\psi_2^0)' < 0$, то $(\psi_2/\psi_2^0) = \text{tg} \alpha_2$ монотонно возрастает от нуля до конечного значения $(\psi_2/\psi_2^0) = \text{tg} \alpha_2(\psi_2^0)$, угол α_2 монотонно возрастает от нуля до значения $\alpha_2(\psi_2^0) < 90^\circ$. С другой стороны, так как точка ψ_2^0 находится за пределами участка $(0, \psi_2^0)$, то $D_2 < 0$. Имеем также

$$D_2^2(0) = -\frac{2a_1^2(LK_2 + NK_1)}{K_2} < 0, \quad D_2(\psi_2^0) = \dots$$

Следовательно, $D_2(\psi_2) < 0$ и $\alpha_2(\psi_2) < 90^\circ$. Тогда, согласно (2.2), угол β_2 монотонно возрастает от 0 до 90° .

Таким образом, при $x_1 < x < x_2$ участку $(0, \psi_2^0)$ верхнего берега разреза плоскости ξ_2 соответствует участок фронта волны в четвертом квадранте, представляющий собой выпуклую кривую, которая выходит

из точки $(0, -b)$ под прямым углом к оси ξ и подходит к оси ξ в точке $(1/b_2^0, 0)$ под острым углом $\alpha_2(b_2^0) < 90^\circ$.

Согласно [3—5] легко показать, что участку $(0, b_1^0)$ верхнего берега разреза плоскости b_1 соответствует участок фронта волны в четвертом квадранте, представляющий собой выпуклую кривую, концы которой подходят к координатным осям ξ, η под прямым углом, соответственно, в точках $(a, 0)$ и $(0, -a_1)$.

Установим, какой участок фронта волны соответствует значениям $b_1^0 \leq b_1 < b_2^0$ нижнего берега разреза плоскости b_1 . Очевидно, что на этом берегу разреза функция λ_2 имеет положительные значения. Точкам $b_1 = b_2^0$ и $b_1 = b_1^0$ соответствуют точки фронта волны $(b_1, 0)$ и $(1/b_2^0, 0)$, расположенные на положительной полуоси ξ . Так как $\alpha < \alpha_2 = \alpha_1$, $\varphi_1(b_1) < 0$,

$$\varphi_1(b_1^0) = -2b^2 a^2 (c^2 - v^2) / (b_1^0 K_1 - L) < 0$$

то $\varphi_1(b_1) < 0$ на участке (b_1^0, b_2^0) , следовательно, на этом участке $(b_1/\lambda_1)' < 0$ и b_1/λ_1 монотонно убывает от $+\infty$ до значения $(b_2^0/\lambda_1, (b_2^0)) = (b_2^0/\lambda_1, (b_2^0))$, угол α_1 монотонно убывает от 90° до значения $\alpha_1(b_1^0) = \alpha_2(b_2^0) < 90^\circ$.

С другой стороны, так как точка $b_0 > b_2^0$, то $D_1 > 0$ и $D_1(b_2^0) = - (b_2^0)^2 [2_1(b_2^0)] < 0$, $D_1(b_1^0) = +\infty$. Следовательно, в точке b^* из участка (b_1^0, b_2^0) функции D_1 и λ_1 меняют знак с минуса на плюс.

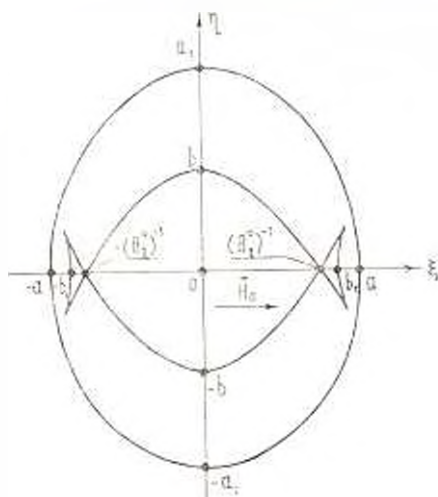
В интервале (b_1^0, b^*) правая часть первого равенства (2.2) монотонно возрастает от $-\infty$ до значения $-\lambda_1(b^*) < 0$, $\text{tg} \alpha_1$ также монотонно возрастает от $-\infty$ до значения $-\lambda_1'(b^*) < 0$, угол α_1 монотонно возрастает от 90° до $\alpha_1(b^*)$.

В интервале (b^*, b_2^0) правая часть первого равенства (2.2) монотонно убывает от значения $-\lambda_1(b^*)$ до $-\infty$, угол α_1 монотонно убывает от значения $\alpha_1(b^*)$ до 90° . Следовательно, нижнему берегу разреза $(-b_1^0, -b_2^0)$ плоскости b_1 соответствует участок фронта волны в первом квадранте.

Один отрезок рассматриваемого участка, соответствующий интервалу (b_1^0, b^*) , представляет выпуклую кривую, которая выходит из точки $(1/b_2^0, 0)$ под острым углом к оси ξ и будет продолжением выпуклого участка фронта волны, соответствующего интервалу $(0, b_1^0)$ верхнего берега разреза плоскости b_1 , так как $\alpha_1(b_2^0) = \alpha_2(b_2^0)$. Другой отрезок, соответствующий интервалу (b^*, b_2^0) , представляет вогнутую кривую, один конец которой соединен точкой возврата первого рода с первым отрезком, другой конец подходит к оси ξ в точке $(b_1, 0)$ под прямым углом.

Таким образом, в случае $\alpha_1 < \alpha < \alpha_2$ внешний фронт будет фронтом быстрой магнитоупругой волны, соответствующим берегам разре-

за $(-\theta_2^0, +\theta_2^0)$ плоскости θ_2 и представляющим выпуклую замкнутую кривую, пересекающую координатные оси в точках $(\pm a, 0)$ и $(0, \pm a_1)$. Внутренний фронт будет фронтом медленной магнитоупругой волны, состоящим из кусочно-гладких кривых, образующих остроугольные кромки у оси ξ , выражающимся формулами (1.26) при $k=2$ на берегах разреза $(-\theta_2^0, +\theta_2^0)$ плоскости θ_2 и формулами (1.26) при $k=1$ на берегах разрезов $(\pm \theta_1^0, \pm \theta_1^0)$ плоскости θ_1 , римаковой поверхности функции $i(\theta)$ (фиг. 5).



Фиг. 5.

При $x \rightarrow 0$ из первого случая получается, что волновые фронты представляют собой окружности с центром в начале координат с радиусами $b_1 = b$, $a_1 = a$.

При $x \rightarrow x_0$ участки $(-\theta_2^0, +\theta_2^0)$ вещественности функции i_1 вырождаются в точки $\pm \theta_2^0 = \pm \theta_2^0$, причем треугольные части фронта медленной волны исчезают, превращаясь в точки. Фронт становится замкнутой выпуклой кривой, пересекаясь с осью ξ в двойных точках, которые получаются из формул (1.26) при $\theta = \pm \theta_1^0 = \pm \theta_1^0$, когда $k=1$ и $k=2$.

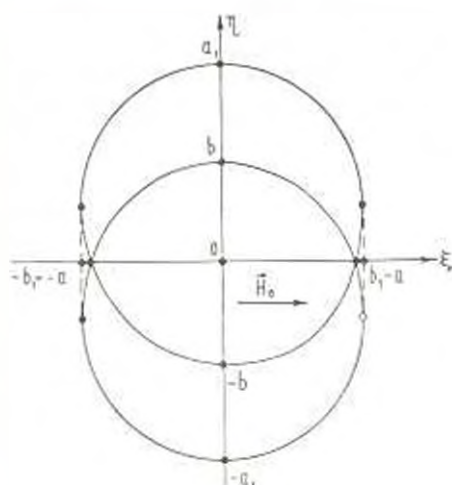
3. Пусть $x = x_0 = c$.

В этом случае i_1 имеет вещественные значения на берегах разреза $(-\theta_1^0 = -\theta_1^0, +\theta_1^0 = +\theta_1^0)$ и в точках $\pm \theta_2^0$ плоскости θ_1 , а функция i_2 — на берегах разреза $(-\theta_2^0, +\theta_2^0)$ плоскости θ_2 .

Этот случай аналогичен конической рефракции в кристаллооптике [15]. Основываясь на кристаллооптической аналогии, как это делается в [12], на фиг. 6 приведены волновые фронты, соответствующие этому случаю. Отметим, однако, что случай рефракции требует специального исследования.

4. Пусть $x_2 < x < x_3$.

В этом случае функция λ_1 имеет вещественные значения на берегах разреза $(-\zeta_2^0, +\zeta_2^0)$ и $(\pm \zeta_1^0, \pm \zeta_2^0)$ плоскости θ_1 , функция λ_2 — на берегах разреза $(-\zeta_2^0, +\zeta_2^0)$ плоскости θ_2 .



Фиг. 6.

Чтобы получить риманову поверхность функции $\lambda(\zeta)$, следует на фиг. 2 поменять местами точки $\pm \zeta_2^0$ и $\pm \zeta_1^0$.

Проводя аналогичные рассуждения, как в случае $x_2 < x < x_3$, получаем, что внешний фронт будет фронтом быстрой волны, соответствующим берегам разреза $(-\zeta_2^0, -\zeta_1^0)$ плоскости θ_1 и представляющим выпуклую замкнутую кривую, пересекающую координатные оси ξ, η в точках $(+b_1, 0)$ и $(0, -a_1)$. Внутренний фронт будет фронтом медленной волны, состоящим из кусочно-гладких кривых, образующих острые углы у оси ξ и выражающихся формулами (1.26) при $k=2$ на берегах разреза $(-\zeta_2^0, +\zeta_2^0)$ плоскости θ_2 и формулами (1.26) при $k=1$ на берегах разрезов $(\pm \zeta_1^0, \pm \zeta_2^0)$ плоскости θ_1 римановой поверхности функции $\lambda(\zeta)$.

В пределе, когда $x \rightarrow x_1$, участки $(\pm \zeta_1^0, \pm \zeta_2^0)$ вырождаются в точки $\pm \zeta_1^0 = \pm \zeta_2^0$, фронт медленной волны становится выпуклой замкнутой кривой, которая пересекается с осью ξ в двойных точках, координаты которых определяются из формул (1.26) при $\zeta = \pm \zeta_1^0, \eta = \pm \zeta_1^0$, когда $k=1$ и $k=2$.

5. Пусть $x_2 < x < +\infty$.

В этом случае функция λ_1 вещественна на берегах разреза $(-\zeta_2^0, +\zeta_2^0)$ плоскости θ_1 , а функция λ_2 — на берегах разреза $(-\zeta_1^0, +\zeta_1^0)$ плоскости θ_2 .

Рассуждая точно так же, как в случае $0 < x < x_1$, можно показать, что фронты волн представляют собой выпуклые замкнутые кривые с центром в начале координат; внешний фронт, соответствующий $k = 1$, будет фронтом быстрой волны, внутренний, соответствующий $k = 2$, — фронтом медленной волны.

При $x \rightarrow +\infty$ внешний фронт, то есть фронт быстрой волны, вырождается в бесконечно удаленную точку.

Выполненные исследования дают возможность установить условия существования или отсутствия остроугольных кромок на фронтах магнитоупругих волн: когда $0 < x \leq x_1$ и $x_2 < x < +\infty$, кромки отсутствуют, когда $x_2 < x < x_1$ ($x = x_1$) кромки существуют, когда $x = x_1$ — имеет место коническая рефракция магнитоупругих волн.

Заметим, что, в отличие от сказанного, в магнитной газодинамике наличие остроугольных кромок обязательно [16]. Это объясняется влиянием поперечных упругих волн, так как при $b = 0$ области отсутствия кромок в магнитоупругости исчезают ($x_1 = 0$, $x_2 = +\infty$).

Автор благодарит участников семинара „Электродинамика деформируемых сплошных сред“ Института механики АН АрмССР за обсуждение работы.

Институт механики
АН Армянской ССР

Поступила 19 IV 1974

Ք Ն Պ Ա Յ Ո Ւ Ա

ԿՆՏԱՅԻՆ ԱՐԲՅՈՒՐԻՑ ԵՎ ԳԵՆԵՐԱԹԵՍԻՍՏԻԿԱՆ ՏՆՏԱՆՈՒԹՆԵՐԻ ՏԱՐԱԾՄԱՆ
ՇՐՔ ԽՆԴԻ ՎԵՐՈՒՅԵՐՅԱԼ

Ս մ փ ո փ ո ռ մ

Գրատարվում է իզատրոպ անվերջ միջավայրում անխաթմային իմպուլսի բնույթի կետային աղբյուրից մագնիսատառձգական տատանումների տարածման հարթ խնդիրը: Աղբյուրական մագնիսական դաշտը ենթադրվում է հաստատուն և զուգահեռ միջավայրի շարժման հարթությանը:

Սմիթսոն-Սարսիեր կոմպլեքս լուծումների մեթոդի հիման վրա ստացված են լուծումներ, որոնցով բնութագրվում են կետային աղբյուրից տարածվող մագնիսատառձգական տատանումները:

Բերված է ստացված լուծումների հետազոտումը և նրա հիման վրա տատանասերված են արագ և դանդաղ մագնիսատառձգական ալիքների ճակատների երկրաչափական ձևերը՝ կախված սղբյուրական մագնիսական դաշտի ինտենսիվությունից:

ON A PLANE PROBLEM OF PROPAGATION OF
MAGNETOELASTIC VIBRATION FROM A POINT SOURCE

Z. N. DANCIAN

S u m m a r y

A plane problem of propagation of magnetoelastic vibration in anisotropic infinite medium from a point source of an instantaneous impulse type is considered. The primary magnetic field is assumed to be constant and parallel to the plane of propagation.

The solutions, characterizing the magnetoelastic vibration from a point source, are obtained on the basis of Smirnov-Sobolev's complex solutions.

The solutions derived are analysed, and in their terms the geometry of fronts of fast and slow magnetoelastic waves are examined, depending upon the strength of the primary magnetic field.

Л И Т Е Р А Т У Р А

1. Франк Ф. и Мизес Р. Дифференциальные и интегральные уравнения математической физики, гл. 12. ОНТИ, М.-Л., 1937.
2. Смирнов В. И. Курс высшей математики, т. 3, часть 2. Изд. "Наука", М., 1969.
3. Свекло В. А. Упругие колебания анизотропного тела. Уч. зап. АГУ, 1949, вып. 17.
4. Осипов И. О. К плоской задаче распространения упругих колебаний в анизотропной среде от точечного источника. ПММ, т. 33, вып. 3, 1969.
5. Осипов И. О. О волновых полях и остроугольных краях на волновых фронтах в анизотропной среде от точечного источника. ПММ, т. 36, вып. 5, 1972.
6. Кейлис-Борок В. И., Мокин А. С. Магнитоупругие волны и граница земного ядра. Изв. АН СССР, сер. геофиз., № 11, 1959.
7. Kalski S. The propagation of a non-linear loading wave in a magnetic field for a perfect conductor. Proc. Vib. Probl., № 5, 1960.
8. Кагачевский А. Я. Об отражении магнитозвуковых волн. ПММ, т. 26, вып. 5, 1962.
9. Багдасарян Г. Е., Даноян Э. Н. Распространение упругих волн в анизотропном полупространстве при наличии магнитного поля. Изв. АН АрмССР, Механика, т. 25, № 2, 1972.
10. Амбарцумян С. А., Багдасарян Г. Е., Белубекян М. В. К трехмерной задаче магнитоупругих колебаний пластинки. ПММ, т. 35, вып. 2, 1971.
11. Селезов И. Т. Распространение магнитоупругих волн напряжения от цилиндрической полости в проводящей среде. ПМТФ, № 2, 1969.
12. Vizer J. Geometrical magnetoelasticity. Geophys. J. Roy. Astron. Soc., № 1, 1971.
13. Даноян Э. Н. К плоской задаче распространения магнитоупругих волн в идеально проводящих изотропных средах. Изв. АН АрмССР, Механика, т. XXVII, № 5, 1974.
14. Гурвиц А., Курант Р. Теория функций. Изд. "Наука", М., 1968.
15. Курант Р. Уравнения с частными производными. Изд. "Мир", М., 1964.
16. Шерклиф Дж. Курс магнитной гидродинамики. Изд. "Мир", М., 1967.